

愛媛大学工学部土木工学科教室

正員

瀬野正次

## 1. まえがき

新潟地震の被害で大きかつた低地砂層地域で地下水の噴出と砂の吹き上げがみられた。これに類似は、福岡県田川地区の石灰岩地帯においても又えびの地震においてもみられたことがあります。筆者は、この現象を model 化して、従来縦スリット（水の流入方向が鉛直方向）の場合ならびに横スリット（スリットの前に試料がない）の場合について噴砂現象を規定する量 sand jet の発生条件などについて発表してきました。quick sand の砂層流動化は動水こう配  $I_c$  が次式  $I_c = \frac{\Delta H_s}{B} = \frac{P_s - P}{\rho g}$  (1-n) で、ここに  $n$  : 間隙率  $P_s$  : 沙粒および水の密度  $\Delta H_s$  : 水位差  $B$  : 砂層の厚み に達したときおこるとされていながら、(1) 式は砂層における動水こう配が一様で砂層に沿っての流動化の可能性が一様に分布する場合について導かれたもので、動水こう配が一様でない場合については水理学的に明瞭でない点が残されています。今回は横スリット（スリットの前後に試料がある場合）における噴砂現象を規定する量 sand jet の発生条件などについて述べるが、これも又動水こう配が大きく変化する場合の一例である。

## 2. 実験装置ならびに実験結果

実験装置は高さ 1 メートルのヘッドタンク（水位一定）から導いた水をバルブを通して図-1 に記した二次元実験装置に流入させるよう

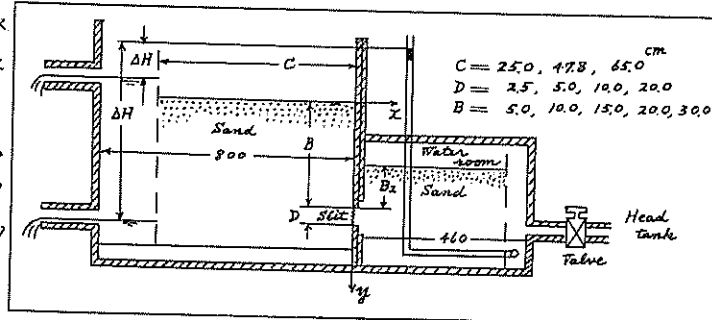
図-1

にしたところである。図-1 は水位上の場合と水位が殆ど 0 に近い場合について記してあるが、水位上りの場合には左下排水孔を開けるようにしてある。実験に用いた試料は福島県相馬砂で、真比重 2.65 粒径 0.49 ~ 0.25 mm 浸透速度 0.35

cm/sec. 単粒子の沈降速度 10.72 cm/sec. もりで、さくべく均一にできるように砂の厚み約 3 cm おきに軽く突き固めたものである。実験はバルブを調節して順次水圧をあげ定常状態に達したときの圧力水頭・水位・流量を測定した。圧力をあげてゆくと sand jet を形成するに至る。sand jet を形成すると、スリット内の圧力水頭は減少し流量は増大する。こうときの定常状態を測定して一つの実験を終える。

## スリットから漏れ解析

二次元的な噴砂現象を対象にして試料上面より水位が高い場合について解析した結果を記す。図-1 に記した X 方向の流速を Y 方向の流速をひ・流れの関数（単位巾流量）を出速度ポテンシャルを正のあらわすと、二次元定流の連続式ならびに流れが非回転であるための条件より、正と負はともに Laplace



の微分方程式を満足し交換可能である。つぎに複素ボテンシャル  $w$  は  $w = \bar{z} + i\psi$  で定義され、 $w$  は Cauchy-Riemann の微分方程式を満足しているので  $w$  は正則であり、従って二次元の非回転定常流では境界条件を満足するようになり得るといふことになる。

図-2 に定義された Z 面および w 面に対し Schwarz-Christoffel の定理を適用する。Z 面においては

$$Z = M \int \frac{t-m}{\sqrt{(t+1)(t-1)}} dt \quad \dots (1)$$

により、 $t = z + i\eta$  一面に写像される。

又、w 面においては

$$w = N \int \frac{1}{\sqrt{(t+b)(t+1)(t-1)(t-b)}} dt \quad \dots (2)$$

により、 $\bar{z}$  面に写像される。こゝに、 $M, N$  は一般の多角形では複素定数である。従つて、 $\bar{z}$  面を媒介として  $w$  と  $Z$  との関係が求められ、各線上の  $\phi$ 、 $\psi$  ならびに流速を求めることが出来る。

まず Z 面と  $\bar{z}$  面との対応関係をうる。

$CD$  線上の対応から

$$\begin{aligned} y &= -(B - B_2) + M(\sqrt{1-t^2} + m \sin^{-1} t - \frac{\pi}{2}m) \\ B_2 &= M(\frac{\pi}{2}m - \sqrt{1-m^2} - m \sin^{-1} m) \end{aligned} \quad \dots (3)$$

が得られる。つぎに、 $CB$  線上の対応から

$$B = -M(\sqrt{1-m^2} + m \sin^{-1} m + m \frac{\pi}{2}) \quad \dots (4)$$

が得られ、(3)(4) 式より

$$B - B_2 = -Mm\pi \quad \dots (5)$$

(4)(5) 式より

$$\frac{B - B_2}{B} = \frac{m\pi}{\sqrt{1-m^2} + m \sin^{-1} m + m \frac{\pi}{2}} \quad \dots (6)$$

となる。 $B, B_2$  が与えられると、(6) 式より  $m$  が(5) 式より  $M$  が定まる。

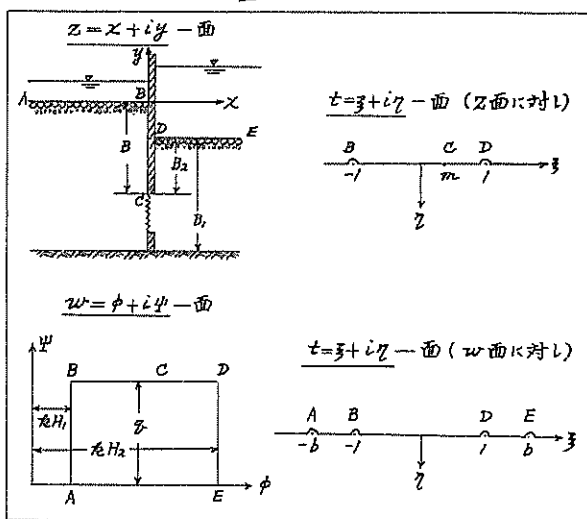
同様にして、 $w$  平面と  $\bar{z}$  平面との対応関係をうる。 $DCB$  線上の対応から

$$N = \frac{b+1}{2 \cdot K(\chi)} \operatorname{ar}(H_1 - H_2) \quad \dots (7)$$

こゝに、 $K(\chi)$  は  $\chi = \frac{2\sqrt{b}}{b+1}$  を母数とする第一種完全積分である。

さうに、 $BA$  線上の対応から、 $\chi'^2 = 1 - \chi^2$  とおいて

図-2



$$\frac{B}{\operatorname{ar}(H_2 - H_1)} = \frac{K(\chi')}{K(\chi)} \quad \dots (8)$$

が得られ、 $\frac{B}{\operatorname{ar}(H_2 - H_1)}$  が決まると、(8)式より  $\chi, \chi', b$  が定まる。

また、噴砂現象を規定する量として、スリット上方  $CB$  線上の流速は

$$\begin{aligned} U &= -\frac{N}{M} \frac{1}{\sqrt{(t+b)(b-t)(t-m)}} \\ &= \frac{b+1}{2M \cdot K(\chi)} \operatorname{ar}(H_2 - H_1) \frac{1}{(t-m)\sqrt{(t+b)(b-t)}} \end{aligned} \quad \dots (9)$$

従つて、 $CB$  線上の動水コウ配は

$$\frac{B}{(H_2 - H_1)} \left( \frac{1}{\chi} \right) \frac{\partial \bar{y}}{\partial \bar{z}} = \frac{B \cdot (b+1)}{2M \cdot K(\chi)} \frac{1}{(t-m)\sqrt{(t+b)(b-t)}} \quad \dots (10)$$

よつて、 $B \cdot B_2 \operatorname{ar}(H_2 - H_1) = \Delta H$  に対する  $\chi$  を求める。動水コウ配が  $y/B$  の関数として求められる。

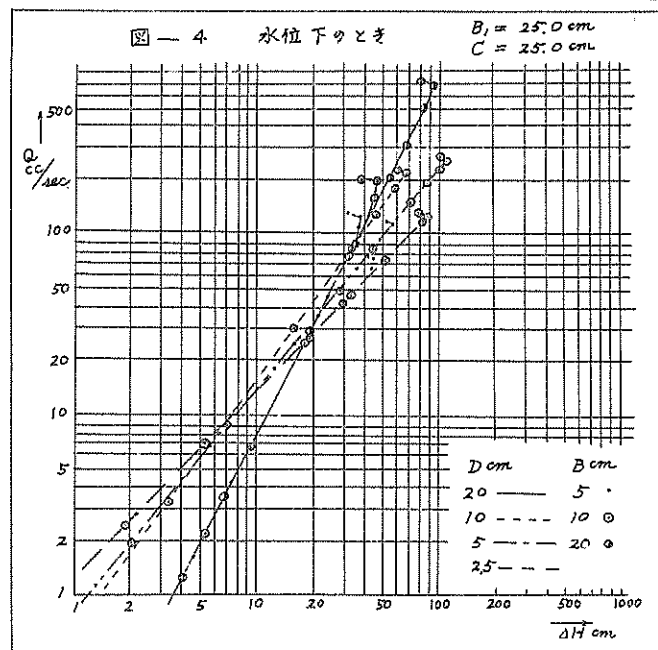
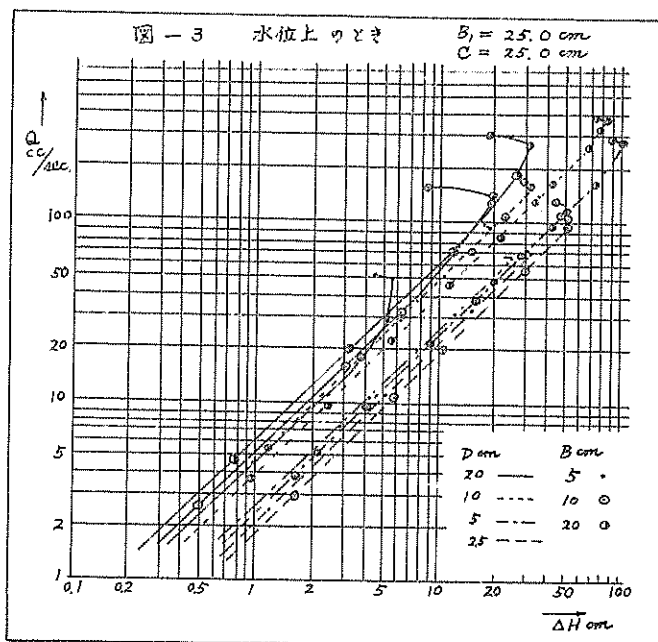
スリット巾  $D$  cm が小さいときには、 $\chi/\Delta H$  が  $B, B_2$  に関係なく一定値となるが、 $D$  が大きくなると差は大きくなる。

一般にスリット位置における動水コウ配の値は非常に大きく、その近傍における変化は著しい。

、図一3からびに図一4は実験結果の一例で、二次元スリットの流量  $Q$  cc/sec. と  $\Delta H$  cm. との関係を圖示したものである。図一3は水位が試料上面より上にある場合である。なお前に記した各々の関係は、 $Q = \alpha \times 18.0$  (スリットの奥行き  $18.0$  cm) である。水位が試料上面より上にある場合は、 $\Delta H$  の最大に達するまで、両対数紙上で  $45^\circ$  傾斜の直線となり、浸透の法則を満足する。

又砂の厚さ  $B$  が増すにつれ、同じ  $\Delta H$  の値に対し  $Q$  の値は小さくなるようであるが、 $D = 20$  cm のときは逆の傾向にある。これは、スリット巾  $D$  が大きくなつくると、 $B$  の影響よりも砂の密閉度の影響が大きくなるからである。図一4は水位が殆んど 0 に近い場合であつて、 $\Delta H$  の小さい値のときから浸透の法則より著しく離れてつるが、 $\Delta H$  の最大に達するまで同一直線上に在る。この直線の勾配は、一般に水位上の場合より急で、 $Q$  の  $\Delta H$  とおくと、スリット巾  $D$  cm が  $20 \cdot 10 \cdot 5$  のときの比の値は  $1.97 \cdot 1.31 \cdot 1.22$  となり、 $D$  が  $2.5$  cm 以下になると略々浸透の法則を満足するようになる。

全お噴砂の影響図の問題であるが、従来の観によると  $B/D$  以内におこることされている。本実験の結果によると、これを満足するものは、水位上の場合において 20 例うち 18 例であつて、最大影響図と  $B/D$  の比の値は大きいつつで 3.0 平均 1.65 であった。水位が殆んど 0 に近い場合においては、この値は更に大きくなり、従来の説を満足するものは皆無であつて、15 例うち最小 1.20 最大 6.08 平均 3.48 であった。



sand jet は  $\Delta H$  の最大において生じたが、これを  $\Delta H_f$  とすると、 $\Delta H_f = f(B_1, B_2, C)$  および砂の密度  $\rho_s$ 、間隙率  $n$ 、slit の形状 (水位  $h$ ) が期待される。 $B_1, n$  の代りに動水コラ配一様な場合、 $I_c = \Delta H_m / B$  (この実験では 0.93) を導入す。

$$\frac{\Delta H_f}{\Delta H_m} = f\left(\frac{B_2}{B}, \frac{C}{D}, \frac{n}{B}, \text{slit の形状}\right)$$

なり、水位上の場合について  $\frac{\Delta H_f}{\Delta H_m}$  と  $\frac{B_2 C}{B D}$  の関係をプロットしたのが図-5である。 $\frac{\Delta H_f}{\Delta H_m}$  の値は非常に大きく、 $\frac{B_2 C}{B D}$  の小さいとき  $\frac{\Delta H_f}{\Delta H_m}$  の値から  $\frac{B_2 C}{B D}$  の増加とともに増し 10 前後の値になるようである。また、図-5 下図からわかるように、網間隔の増大にともなって  $\frac{\Delta H_f}{\Delta H_m}$  の値は小さくなる。

水位が殆んど 0 に近い場合について、 $\sqrt{D} \frac{\Delta H_f}{\Delta H_m}$  と  $\frac{B_2 C}{B D}$  の関係をプロットしたのが図-6である。 $\frac{\Delta H_f}{\Delta H_m}$  の値は 4.5 から 15.0 の値を示し、水位上の場合に比べて噴砂はおこり難い。

図-5 水位上とのとき

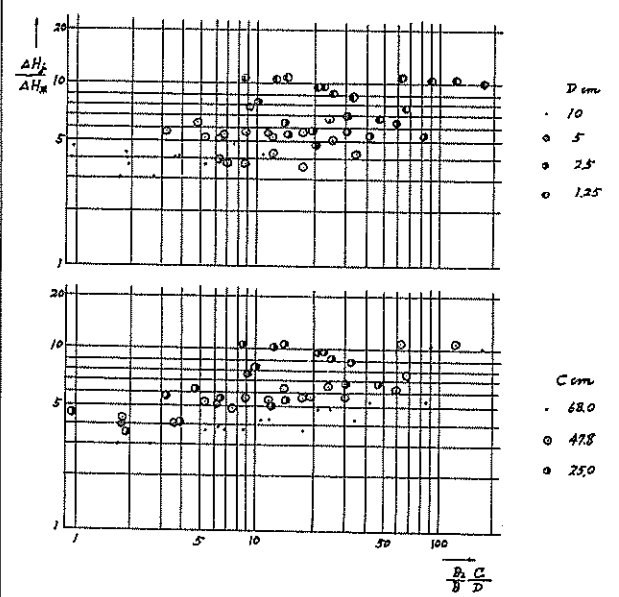


図-6 水位下とのとき

